LX. 1. Hysterium arundinaceum Schrad. „a Schrad. ipso.“ hb. Schwägr.
(Perithecien stumpf, —1¼ mm lg., ¾ mm br.)
2. Hysterium arundinaceum Schrad. Twycross. On reeds. hb. Bloxam.

LXI. 1. Hysterium arundinaceum Schrad. Ad culmos emortuos Arundinis. Lamy.
2. Hysterium Arundinis. hb. Nees. (Arundo.)

LXII. sub Lophodermium arundinaceum Chev. De N. (Hysterium-Schrad. Fr.)
1. Hysterium arundinaceum Schrad. hb. Wallroth (arundo-Halm).
2. Hysterium arundinaceum Schrad. hb. Wallroth (arundo-Blatt).
(Hymenium unbrauchbar. Ist kein Discomycet. Ob zu Dothidea?)

LXIII. sub Lophodermium arundinaceum γ apiculatum Duby (Hysterium apiculatum Fr. Lib.).
1. Hysterium apiculatum. Sur le Typha. Anjou. Guepin.
(Perithecien 1 mm lg., ½ mm br., wenig zugespitzt.)

LXIV. sub Hysterium sphaeroides Fr. (Lophodermium?-Duby).
1. H. sphaeroides A. S. exs. No. 168. Fries scl. suec. 1836. „Sporas nec thecas videre quivi.“
(Perithecien in verbreitet hellerer Blattfläche zuerst eingesenkt, dann hervorbrechend, schwarz, rund, c. ½ mm diam., mit unregelmässiger Oeffnung. Hymenium nicht vorhanden.)
2. H. sphaeroides A. S. exs. No. 168 Fries scl. suec. ed. I. — Beide an Ledum-Blättern.

LXV. 1. Hysterium. Scirpus sylvaticus (Blatt). „Status spermogonicus Lophodermii arundinacei.“ — Kein Discomycet.

Hepaticarum species novae vel minus cognitae.

Von F. Stephani.

VII.

21. Mastigobryum ligulatum. Sande-Lac. n. sp.
Gracile, flavo-rufescens, laxe intricatum, caulis usque ad 4 cm longus, divaricato-furcatus, ex amphigastriorum basi radicans, stolonibus brevibus tenuissimis.

Folia contigua recte patentia, ligulata, subplana, apice truncata, obtuse tridenticulata, sinubus planiusculis.

Amph. remota, sinuatim inserta, appressa, caule subduplo latiora, quadrato-rotunda apice eroso-dentata.

Cellulae apice 0,017 mm dorso 0,008 mm basi 0,025 mm omnes parietibus valde aequaliterque incrassatis.

Hab. Sandwich Jns. (Herb. Sande-Lac). Inter Grandistipulas Mastig. flavescenti simillimum.

Explicatio Tabulae I.

Fig. 13. pars plantae $^{30}/_{1}$. Fig. 14. folii cellulae apicales.

22. Mastigobryum Lindigii. Steph. n. sp.

Majusculum, obscure flavescens, laxe intricatum, multifurcatum, furcis brevibus, stolonibus tenuissimis brevibus.

Folia dense imbricata, dorso caulem non superantia, e basi parum arcuata recte patentia, sublinearia (quadruplo fere longiora quam lata) apice truncata, tridentata, sinubus lunatis, dentibus triangularibus, brevibus, acutis, supero persaepe longiore.

Amph. imbricata, caule duplo vel triplo latiora, quadrato-rotunda, transverse inserta, apice subtruncata, repanda.

Cellulae apice 0,017 mm dorso 0,012 mm incrassatione nulla, basi 0,035 mm, angulis trigone incrassatis.

Hab. Nova Granada, leg. Lindig (Herb. Gottsche).

Explicatio Tabulae III.

Fig. 44. pars plantae $^{10}/_{1}$. Fig. 45. folii cellulae basales.

23. Mastigobryum longidens. Steph. n. sp.

Majusculum, fusco-rubrum, dense intricatum, caulis pseudopinnatus, pinnulis furcatis, stolonibus creberrimis, longis filiformibus, fasciculatim ramosis.

Folia dense imbricata, dorso caulem non superantia, oblique patula, planodisticha, oblongo-triangularia (basi triplo latiora) apice oblique truncata, tridentata, sinubus late lunatis, dentibus aequalibus longe acuminatis.

Cellulae 0,050 : 0,025 mm ubique fere aequales, incrassatione angulosa maxima confluente.

Amph. parva, patula, caule non latiora, transverse inserta, quadrato-rotunda, margine varie eroso-denticulata, apice reflexa. Cellulae iis foliorum similis sed minores, 0,035 : 0,017 mm.

Hab. Amboina (Herb. proprium comm. clar. Luerssen).

Species pulcherrima, distinctissima Mast. praerupto relata.

Explicatio Tabulae II.

Fig. 15. pars plantae $^{10}/_{1}$. Fig. 16. folium caulinum $^{30}/_{1}$. Fig. 17. amph. caulina $^{30}/_{1}$. Fig. 18. folii cellulae apicales.

24. Mastigobryum Lowii. Sande-Lac. n. sp.

Parvum, ad 3 cm longum, procumbens, rigidum, atrobrunneum, simplex vel divaricato-furcatum; ramuli curvati, stolones numerosi crassi strictique.

Folia imbricata, homomalla, valde concava, semicordato-ovata, margine superiore maxime-inferiore leniter arcuata, apice truncata, tridentata; dentes irregulares acuti integri; incisura pro more lunata.

Cellulae basis 0,050 mm medio apiceque 0,025 mm reliquae 0,017 mm. Incrassatio parietum maxima, aequalis, in cellulis basalibus tamen medio interrupta.

Amphigastria contigua, latitudine caulis, appressa subquadrata, margine varie angulata vel dentata. Cellulae 0,017 mm, iis foliorum aequales.

Hab. Borneo, in monte Kino Balloo leg. H. Low (Herb. Hooker).

Von allen Verwandten hat diese Art die stärkste Wandverdickung; das Lumen der Zelle ist oft kleiner als die Dicke der Wand.

Explicatio Tabulae III.

Fig. 46. pars plantae $^{10}|_{1}$. Fig. 47. folium caulinum $^{30}|_{1}$. Fig. 48. Amph. caulinum $^{30}|_{1}$. Fig. 49. folii cellula basalis.

25. Mastigobryum Manillanum. G. n. sp.

Spectabile, flavo-brunneum, laxe intricatum, caulis remote furcatus stolonibus sparsis longis filiformibus. Folia imbricata, subfalcato-disticha, subplana, oblonga, basi duplo latiora dorso breviter inserta caulem non tegentia, sub apice denticulata, apice truncata, irregulariter tridentata sinubus profunde lunatis, dentibus brevibus (medio majore) acutis denticulatis.

Cellulae 0,017 mm, parietibus laevibus basi duplo longiores angulis trigone incrassatae.

Amph. magna, caule duplo latiora quadrato-rotunda, transverse inserta appressa, margine repanda, cellulae exincrassatae iis foliorum diversae, basi breves 0,017 mm versus apicem duplo longiores.

Hab. Manila, leg. Gaudichaud (Herb. Gottsche). Nuperius e Sarangani, provincia Insulae Luzon a hortulano Micholitz inter collectionem hepaticarum suam splendidissimam relatum est.

Cum Mastig. Wallichiano comparandum, quod differt foliis latioribus amph. cauli aequilatis.

Explicatio Tabulae III.

Fig. 31. pars plantae $^{10}|_{1}$. Fig. 32. folium caulinum $^{30}|_{1}$. Fig. 33. folii cellulae basales. Fig. 34. folii cellulae apicales.

26. Mastigobryum Martianum. G. n. sp.

Parvum, olivaceum; caulis irregulariter furcatus, stolonibus brevibus subtilibus. Folia imbricata, falcato-disticha, oblongo-lanceolata, margine ventrali e basi angulata sinuata, dorso caulem tegentia, nec superantia, apice triplo vel quadruplo angustiora, truncata, tridentata, sinubus late lunatis, dentibus (medio parum majore) brevibus acutis.

Amph. imbricata, magna, caule subtriplo latiora, quadrato-rotunda, brevi spatio accreta, profunde cordata, alis liberis, margine superiore repando-lobulata.

Cellulae apice 0,025 mm dorso 0,017 mm basi 0,035 mm incrassatione nodulosa.

Hab. Brasilia leg. Martius (Herb. Gottsche. Herb. Univ. Monacensis).

Mast. arcuatum, cui simillimum, differt foliis latioribus, cellulis basalibus multo majoribus (0,050 : 0,025 mm) incrassatione basali acuta triangulari nec nodulosa.

Mast. Martianum, leg. Lindberg ad Caldas Brasiliae, certe diversum est insertione transversa amphigastriorum et quoad eorum marginem saepe profunde quadrilobatum et foliorum formam latiorem pro forma paupercula Mast. quadricrenati habeo.

Explicatio Tabulae I.

Fig. 9. pars plantae $^{10}/_{1}$. Fig. 10. amph. caulina $^{30}/_{1}$. Fig. 11. folii cellulae apicales. Fig. 12. folii cellulae basales.

27. Mastigobryum Mascarenum. Steph. n. sp.

Parvum, ad 2 cm longum, inter muscos adscendens flavescens, stolones numerosi, filiformi, squamulis pusillis, lanceolatis obsiti.

Folia remota, recte patentia, plana, oblonga, margine superiore magis arcuata, apice obtusa vel irregulariter 1—2—3 dentata, dentibus brevibus obtusis.

Cellulae magnae, pellucidae, medio 0,035 mm reliquae 0,017 mm omnes angulis valde incrassatis.

Amph. uno latere connata, cauli oblique inserta, patula subquadrata, margine superiore profunde 3—4 crenata dentatave. Cellulae 0,017 mm incrassatio angulosa ut in foliis.

Hab. Insula Bourbon. Pauca frustula inter alias Hepaticas inveni.

Die amph. sind an dem Stengel schief inserirt, weil sie die Basen von zwei wechselständigen Blättern verbinden; sie sind jedoch stets nur an einer Seite mit dem nächst stehenden Blatte verwachsen.

Explicatio Tabulae III.

Fig. 35. pars plantae $^{10}/_{1}$. Fig. 36. amph. caulina $^{30}/_{1}$. Fig. 37. folium caulinum $^{30}/_{1}$. Fig. 38. folii cellulae.

28. Mastigobryum Philippinense. Jack. n. sp.

Spectabile, laxe intricatum, flavo-viride. Caulis usque ad 6 cm longus, laxe furcatus stolonibus copiosissimis, longissimis.

Folia imbricata, e basi angulata leniter arcuata, plano-disticha, sublinearia, quintuplo longiora quam lata, basi dorsali solum ampliata, caulem vero non tegentia, sub apice, praesertim margine ventrali eroso-serrulata, apice vix angustiore pro more truncata, tridentata dentibus irregularibus acutis, eroso-dentatis.

Cellulae 0,017 mm parietibus validis laevibus, basi 0,035 : 0,025 mm angulis trigone incrassatis.

Amphigastria magna, imbricata transverse inserta, quadrato-oblonga repando-lobata, cellulis iis foliorum similibus.

Hab. Ins. Philippinae leg. G. Wallis 1870 (Herb. Jack).

Species bene distincta, quoad foliorum forma Mast. cincinnato inter Serrulatas affinis, amphigastriis tamen valde diversa.

Explicatio Tabulae I.

Fig. 5. pars plantae $^{10}/_{1}$. Fig. 6. folium caulinum $^{30}/_{1}$. Fig. 7. folii cellulae apicales. Fig. 8. folii cellulae basales.

29. Mastigobryum quadricrenatum. G. n. sp.

Parvum, olivaceum, dense depresso-caespitosum, caulis usque ad 3 cm longus multifurcatus, furcis brevibus late divergentibus, stolonibus brevibus validis.

Folia imbricata, plano-disticha, parum falcata, linearia, subtriplo longiora quam lata, apice ipso vix angustiora, late truncata, tridentata, sinubus profunde lunatis, dentibusque cuspidatis acutis.

Amphigastria magna, caule triplo latiora e basi angustiore sinuatim inserta, subquadrata, margine superiore truncato ad $^{1}/_{3}$ quadrilobato, incisura angusta acuta, laciniis latis obtusissimis.

Cellulae 0,017 mm basi 0,035 : 0,025 mm, omnes angulis nodulose incrassatae.

Hab. Guadeloupe (leg. l'Herminier) Venezuela (leg. Korthals. Herb. Sande-Lacoste) Brasilia. (Caldas, leg. Lindberg, forma paupercula; vide Mast. Martianum).

Species distinctissima.

Explicatio Tabulae I.

Fig. 1. pars plantae $^{10}/_{1}$. Fig. 2. folium caulinum $^{30}/_{1}$. Fig. 3. folii cellulae apicales. Fig. 4. folii cellulae basales.

30. Mastigobryum Sandei. Steph. n. sp.

Parvum, gracile, brunneum, laxe caespitosum; caulis pseudo-pinnatus, usque ad 4 cm longus pro planta validus, stolonibus brevissimis tenuissimis.

Folia basi imbricata, recte patentia, maxime deflexa, falcato-triangularia, sc. margine ventrali e basi angulata leniter sinuata, dorsali, valde arcuata, dorso ipso ampliata, apice truncata tridentata, sinubus profunde emarginatis, dentibus magnis, latis, acutis (medio majore), exterioribus parum divaricatis.

Amph. approximata (in ramulis junioribus subimbricatis) rotundo-quadrata, basi profunde cordata, integra, a caule oblique patula, apice reflexa.

Cellulae 0,017 mm dorso 0,008 mm angulis parum trigoneque incrassatae, basi 0,035 : 0,017 mm incrassatione parva nodulosa.

Hab. Sumatra. Padang leg. Andr. Wiltens. (Herb. Sande-Lacoste.) Birma, top of Nattoung. leg. S. Kurz (Herb. proprium dedit Hampe sub nom. M. Nattongianum Gottsche).

M. decurvum, cui valde simile praesertim differt incrassatione cellularum basalium eroso-trigona, vel confluente vel angulosa vel in medio parietum. —

Explicatio Tabulae III.

Fig. 39. pars plantae $^{10}/_{1}$. Fig. 40. amphig. caulinum $^{30}/_{1}$. Fig. 41. folium caulinum $^{30}/_{1}$. Fig. 42. folii cellulae apicales. Fig. 43. folii cellulae basales.

31. Mastigobryum Sandvicense. Gottsche n. sp.

Majusculum, brunneo-flavescens; caulis usque ad 6 cm longus, laxe divaricato-furcatus, stolonibus brevibus, sparsis, filiformibus.

Folia basi imbricata, leniter falcata, oblongo-linearia (basi parum latiora), apice oblique truncata, tridentata, sinubus late lunatis, dentibus latis longiuscule apiculatis. Cellulae 0,017 mm dorso 0,008 mm parietibus validis, laevibus sc. aequaliter incrassatis, basi 0,050 : 0,025 mm trigonis magnis.

Amph. remota, quadrato-rotunda, breviter cordata, integra, cellulis iis foliorum minoribus, ceterum similibus.

Hab. Ins. Sandwich leg. Remy (Herb. Gottsche) leg. Gaudichaud (ex Herb. Lenormand in Herb. Gottsche).

Inter Cordistipulas proximum Mast. Borbonico, cellulis tamen diversis facile distinguendum.

Explicatio Tabulae II.

Fig. 19. pars plantae $^{10}/_{1}$. Fig. 20. amphig. caulinum $^{30}/_{1}$. Fig. 21. folium caulinum $^{30}/_{1}$. Fig. 22. folii cellulae apicales. Fig. 23. folii cellulae basales.

32. Mastigobryum Sinense. Gottsche n. sp.

Robustum, laxe caespitans, fusco-badium, siccando subnigrum.

Caulis usque ad 7 cm longus, irregulariter furcatus, stolonibus brevibus, crassis, apice ramosis.

Folia imbricata, parum devexa, leniter falcata, sublinearia, truncata, tridentata, sinubus late lunatis, dentibus latis acutissimis. Cellulae apice 0,017 mm parietibus laevibus, basi 0,045 : 0,035 mm angulis valde trigoneque incrassatis.

Amph. imbricata, appressa, transverse inserta, quadrato-rotunda, margine exteriore repanda, apice profunde bi vel trifissa lobis rotundato-truncatis; cellulis iis foliorum similibus, basi tamen minus grosse incrassatis.

Hab. Hongkong, Victoria Peak, leg. F. Didrichsen, in umbrosis humidis. (Herb. Gottsche.)

Cum Mast. quadricrenato comparandum.

Explicatio Tabulae II.

Fig. 24. pars plantae. Fig. 25. folium caulinum. Fig. 26. amph. caulina. Fig. 27. folii cellulae apicales. Fig. 28. folii cellulae basales. Fig. 29. Amph. cellulae apicales. Fig. 30. Amph. cellulae basales.

Repertorium.

F. Cohn, Beiträge zur Biologie der Pflanzen.

IV. Band. 2. Heft (Breslau 1886).

Dieses Heft enthält drei Arbeiten, von denen die erste von Dr. O. Müller, über die Ranken der Cucurbitaceen für unsere Leser ohne Interesse ist, so dass wir uns auf ein kurzes Referat über die beiden anderen Arbeiten beschränken können. Aber auch diese sind derart, dass wir nur in kurzen Umrissen den hauptsächlichsten Inhalt derselben angeben können, im Uebrigen auf die Arbeiten selbst verweisend.

Untersuchungen über Flagellaten von Dr. Seligo ist der Titel der einen Abhandlung, die uns in jenes Gebiet niederer Organismen führt, das bis vor Kurzem noch fast ausschliesslich der Zoologie zugetheilt wurde. Seligo giebt uns genauere Mittheilungen über eine Anzahl schon bekannter Formen und einiger neuer Arten. Ohne auf das Detail einzugehen, wollen wir nur die besprochenen Arten nennen und ihr Vorkommen anführen. Hexamitus intestinalis Duj. findet sich sehr häufig zwischen den Kothmassen, sowie im Magen von Fröschen, Kröten, Schildkröten, Salamandern und in einem Fisch Leucaspius delineatus. Bei der Schildkröte bewohnt er ausschliesslich die Harnblase. — Trichomonas batrachorum Perty lebt in der Cloake von Rana oxyrrhinos, während Bodo lacertae Grassi die von

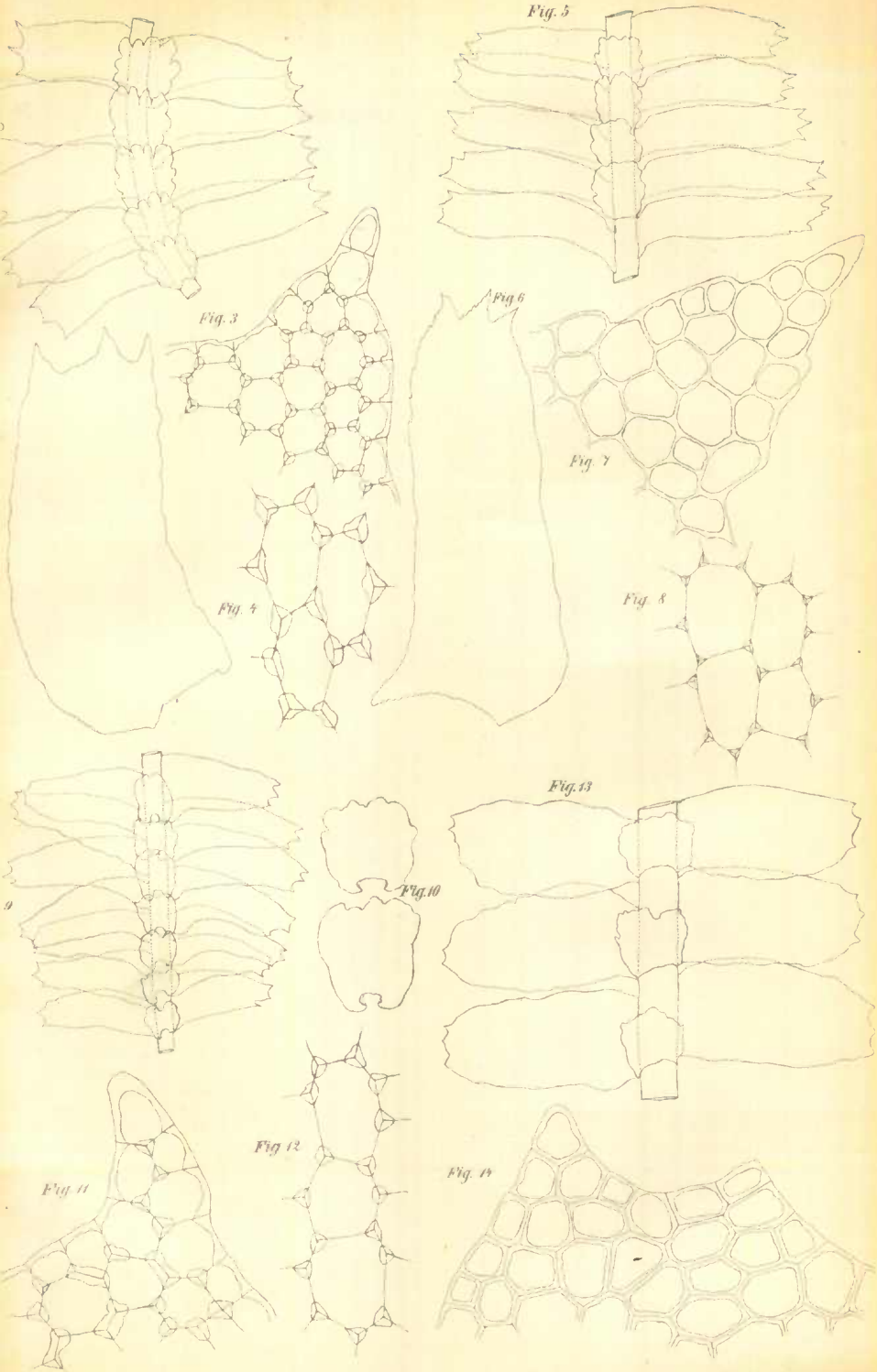
Fig. 5
Fig. 3
Fig. 6
Fig. 7
Fig. 4
Fig. 8
Fig. 13
Fig. 10
Fig. 12
Fig. 11
Fig. 14

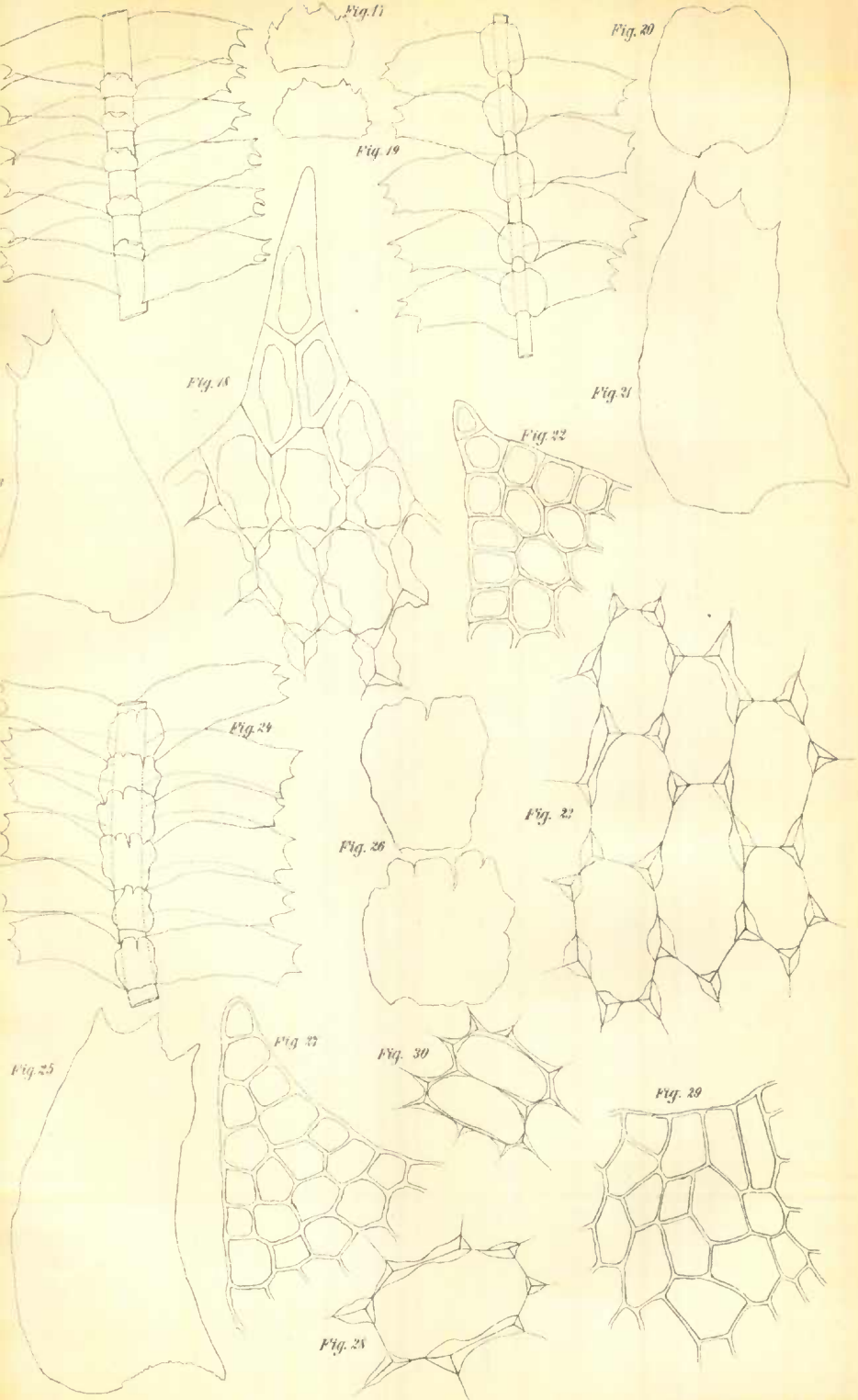
Fig. 17
Fig. 20
Fig. 19
Fig. 18
Fig. 21
Fig. 22
Fig. 24
Fig. 26
Fig. 22
Fig. 25
Fig. 27
Fig. 30
Fig. 29
Fig. 28

F. Stephani

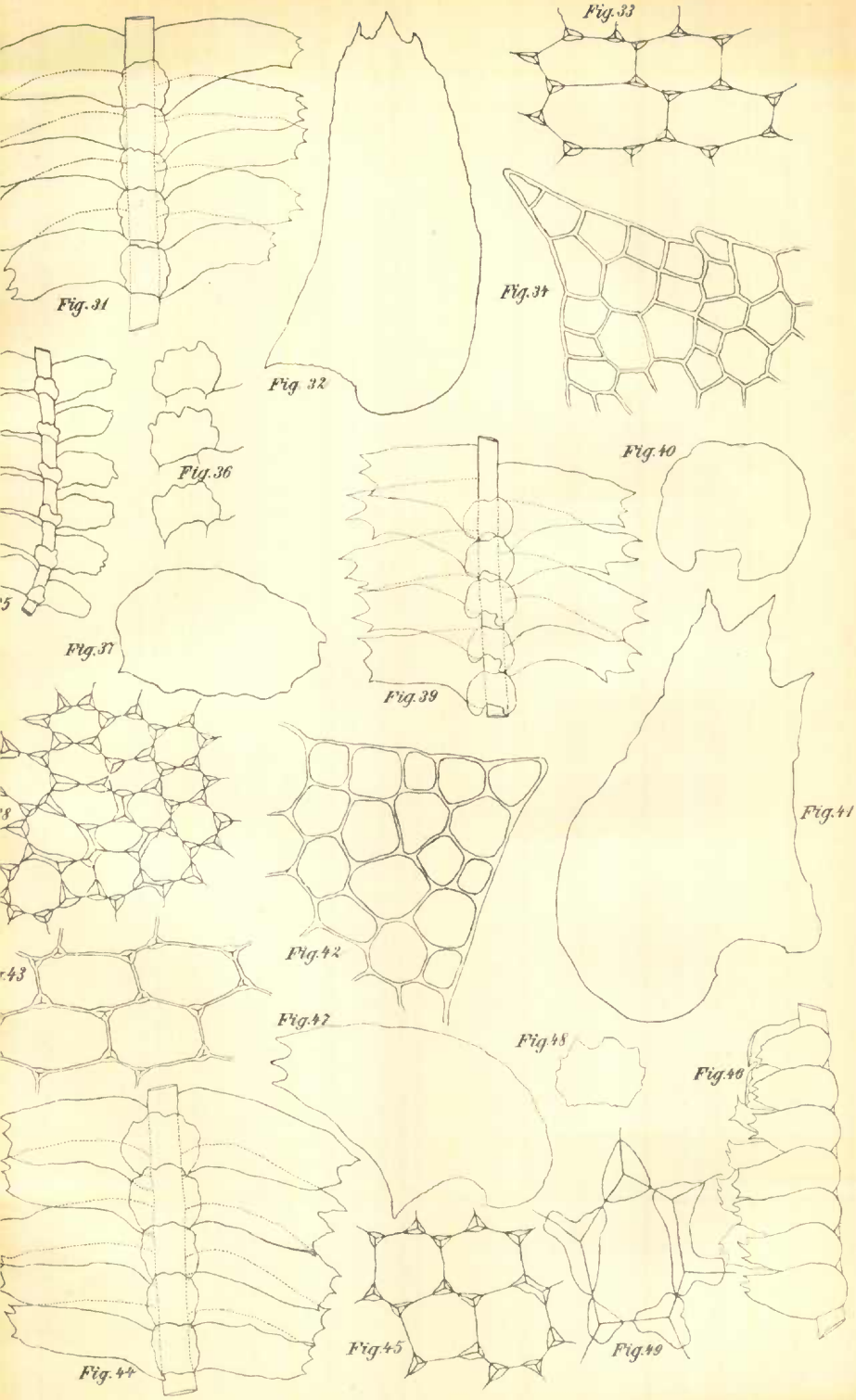

F. Stephani del.

ZOBODAT - www.zobodat.at

Zoologisch-Botanische Datenbank/Zoological-Botanical Database

Digitale Literatur/Digital Literature

Zeitschrift/Journal: Hedwigia

Jahr/Year: 1886

Band/Volume: 25_1886

Autor(en)/Author(s): Stephani Franz

Artikel/Article: Hepaticarum species novae vel minus cognitae. 202-208